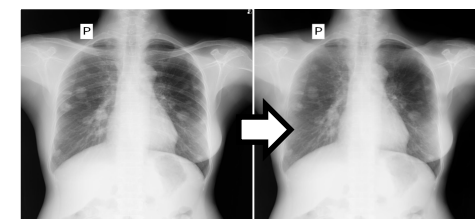


# Umělá inteligence jako efektivní nástroj pro zefektivnění post-COVID léčby

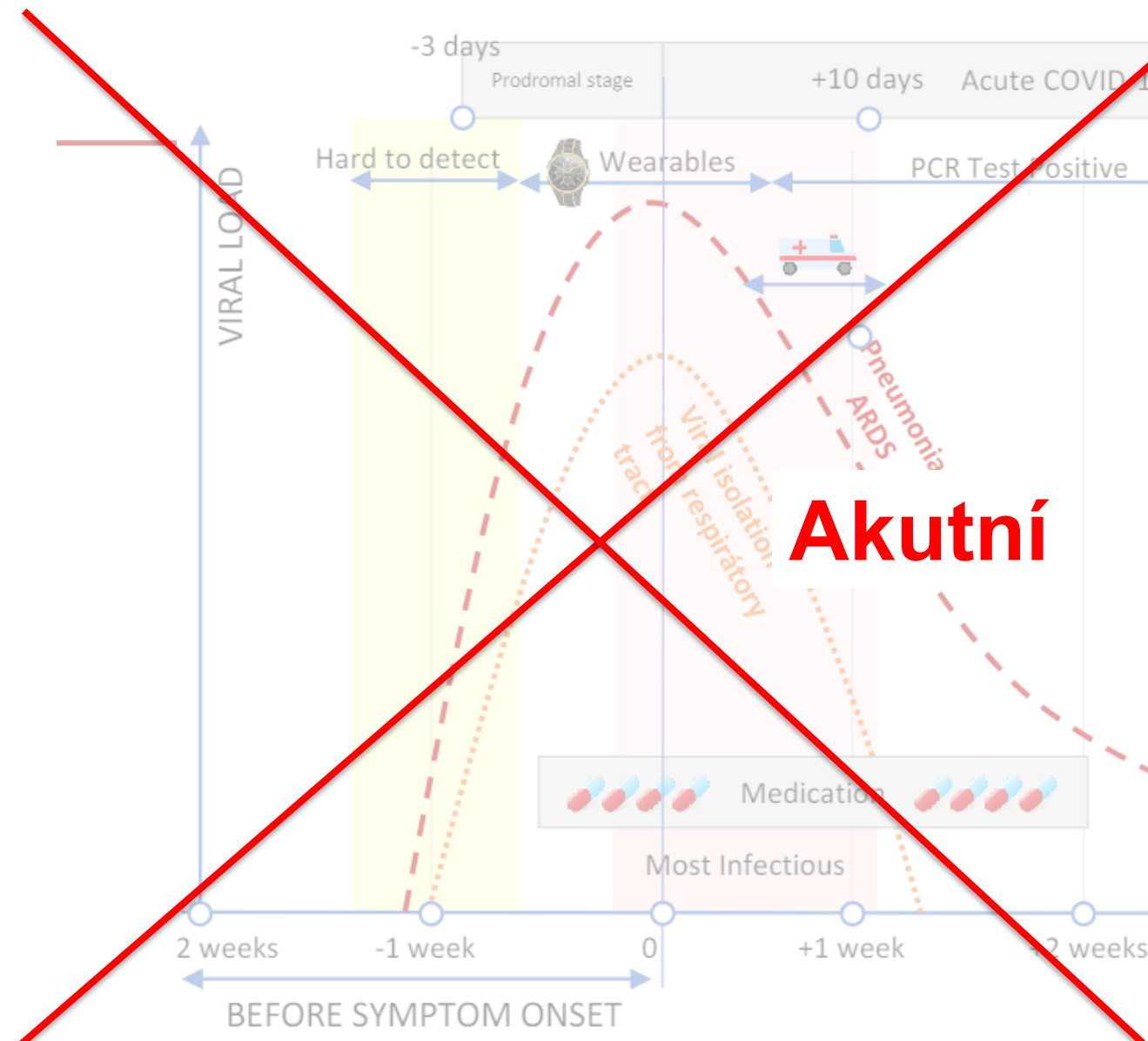
# Obsah prezentace

---

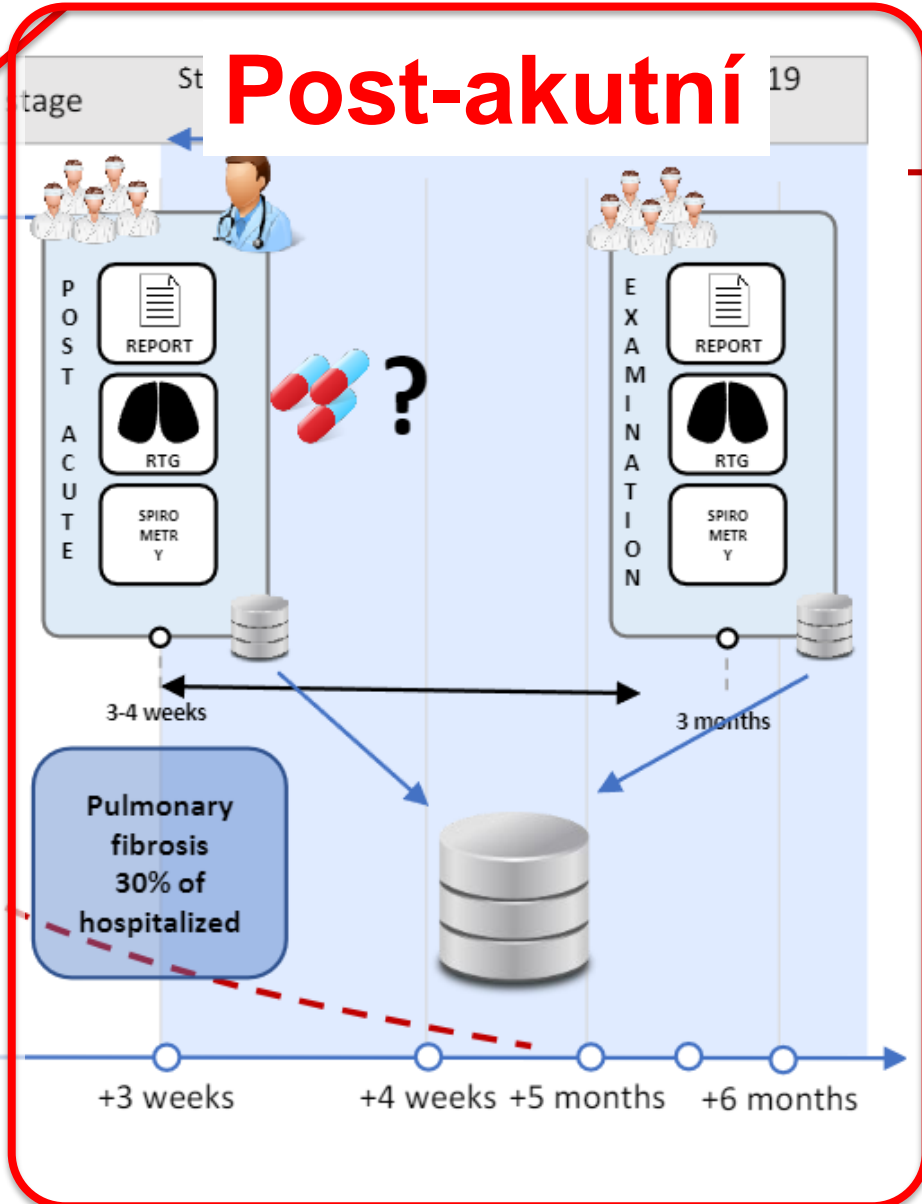
- Představení problému a trénovací množiny
- Výsledky dosažené na základě různých přístupů
  - Analýza z vyšetření
  - Analýza z RTG
  - Vše dohromady
  - Zjednodušený interpretovatelný model
- Ukázka integrace výstupů s IS FNOL
- Další související výstupy:
  - Rozpoznání infekce s pomocí nositelného zařízení v prodromální fázi
  - Umělá inteligence pro potlačení šumu v medicínských datech
  - Detekce nativní varianty SARS-COV-2 v RTG snímcích



# Post-akutní léčba COVID-19



**Akutní**



**Post-akutní**

19

# Preventivní kortikoléčba ano či ne?

---

- Možné nežádoucí účinky
- Ne všichni pacienti profitují z léčby
- Je možné předpovědět, kdo bude z léčby profitovat?

# Trénovací databáze



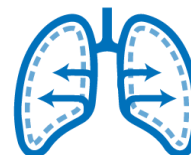
2600+ pacientů  
Včetně všech vyšetření



101+ pacientů  
kde je sporný  
výskyt fibrózy  
na plicích



RTG



Spirometrie



Krevní obraz



Anamnéza + demografické  
prvky

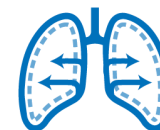
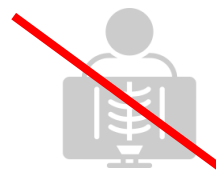
V současnosti největší množina na světě pro jednu z nejzávažnějších komplikací post-COVID léčby.

Demografické info

+ vyhodnocení změny stavu po 3 měsících

# Provedené experimenty

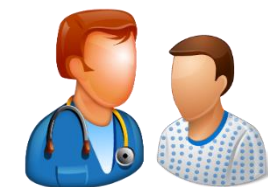
- Fyzická vyšetření + anamnéza



Spirometrie



Krevní obraz



Anamnéza +  
demografické  
prvky

- Rentgenové snímky



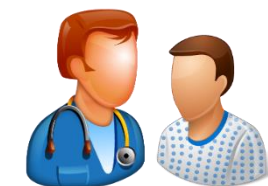
- Kombinace Fyzická vyšetření +  
anamnéza + Rentgenové snímky



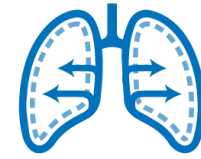
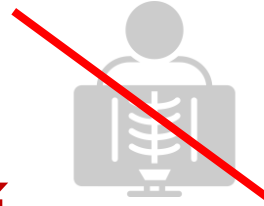
Spirometrie



Krevní obraz



Anamnéza +  
demografické  
prvky



Spirometrie



Krevní obraz



Anamnéza + demografické  
prvky

# Analýza fyzických vyšetření

Table 2

Performance comparison of selected machine learning algorithms.

Method	Accuracy	Balanced accuracy	ROC-AUC	F1	Precision	Recall
Logistic Regression	61.40%	61.30%	63.33%	59.26%	59.26%	59.26%
Multilayer Perceptron	70.18%	69.81%	72.10%	66.67%	70.83%	62.96%
Decision Tree	<b>73.68%</b>	<b>73.52%</b>	<b>74.69%</b>	<b>71.70%</b>	<b>73.08%</b>	70.37%
Random Forest	70.18%	70.00%	70.62%	67.92%	69.23%	66.67%
k-Nearest Neighbors	68.42%	68.15%	66.30%	65.38%	68.00%	62.96%
Support Vector Machine	63.16%	61.85%	70.37%	48.78%	71.43%	37.04%
AdaBoost	70.18%	70.37%	63.58%	70.18%	66.67%	<b>74.07%</b>
XGBoost	61.40%	61.11%	66.30%	57.69%	60.00%	55.56%
Light Gradient Boosting Machine	63.16%	62.59%	69.14%	57.14%	63.64%	51.85%

## Zajímavá zjištění

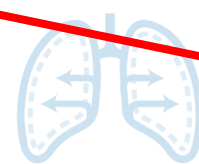
---

- Kuřáci mají významně méně často těžký průběh pro patogen SARS-CoV-2, s těžkým průběhem se kuřáci do post-COVID léčby dostali méně často
- Ztráta čichu + žaludeční problémy => velká pravděpodobnost lehkého průběhu
- Ženy mají častěji long-COVID
- V době, kdy ještě nejsou pozorovatelné příznaky onemocnění se zvýší počet úderů srdce za minutu o cca 10%, obdobně u jiných virových onemocnění (chřipka)
  - Možné kontinuálně měřit pomocí nositelné elektroniky
- Živý organismus (nativní, delta, omikron,...), chování se vyvíjí





RTG



Spirometrie



Krevní obraz



Anamnéza + demografické  
prvky

# Analýza RTG snímků

**Etapa 10:** Výzkum a vývoj modulů pro identifikaci infikovaných pacientů

**Termín splnění:** 04-11 / 2022

Directly from RTG images

Přesnost

# 72.72%

**Table 6**

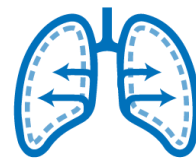
Results for classification of different last layers from NN with ML classifiers

	Accuracy	F1	Precision	Recall	Balanced Acc	ROC-AUC
Last layer (-1) – Result 1						
Random Forest	0.7091	0.6923	0.6667	0.7200	0.7100	0.7240
MLP	0.6727	0.6250	0.6522	0.6000	0.6667	0.7093
Logistic Regression	0.5818	0.3030	0.6250	0.2000	0.5500	0.5387
Decision Tree	0.6364	0.6429	0.5806	0.7200	0.6433	0.6007
<i>k</i> -nearest neighbors	0.6727	0.5500	0.7333	0.4400	0.6533	0.6700
SVC	0.6000	0.5600	0.5600	0.5600	0.5967	0.5720
AdaBoost	0.5818	0.4889	0.5500	0.4400	0.5700	0.5780
Last layer (-2) – Result 2						
Random Forest	0.7091	0.6800	0.6800	0.6800	0.7067	0.6727
MLP	0.7091	0.6923	0.6667	0.7200	0.7100	0.7040
Logistic Regression	0.6727	0.6250	0.6522	0.6000	0.6667	0.6040
Decision Tree	0.5818	0.5818	0.5333	0.6400	0.5867	0.5647
<i>k</i> -nearest neighbors	0.6182	0.4878	0.6250	0.4000	0.6000	0.5833
SVC	0.6000	0.5217	0.5714	0.4800	0.5900	0.4380
AdaBoost	0.5818	0.4103	0.5714	0.3200	0.5600	0.6120
Last layer (-3) – Result 3						
Random Forest	<b>0.7273</b>	<b>0.7059</b>	0.6923	0.7200	<b>0.7267</b>	<b>0.7247</b>
MLP	0.6545	0.4571	<b>0.8000</b>	0.3200	0.6267	0.6413
Logistic Regression	0.6364	0.6154	0.5926	0.6400	0.6367	0.5987
Decision Tree	0.6000	0.6563	0.5385	<b>0.8400</b>	0.6200	0.6160
<i>k</i> -nearest neighbors	0.6545	0.6545	0.6000	0.7200	0.6600	0.6653
SVC	0.5818	0.4889	0.5500	0.4400	0.5700	0.4213
AdaBoost	0.5818	0.5490	0.5385	0.5600	0.5800	0.5407

# Vše dohromady



RTG



Spirometrie



Krevní obraz



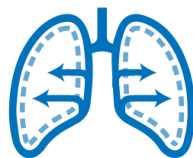
Anamnéza + demografické  
prvky



RTG

Přesnost

73.52%



Spirometrie



Krevní obraz



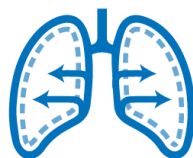
Anamnéza + demografické  
prvky

Přesnost

72.72%



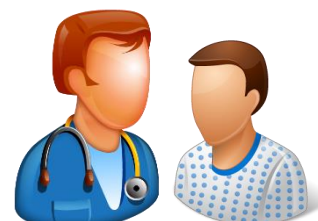
RTG



Spirometrie



Krevní obraz

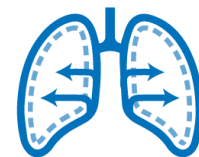


Anamnéza + demografické  
prvky

Přesnost

80.00%

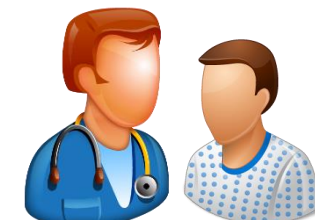
# Zjednodušený model



Spirometrie



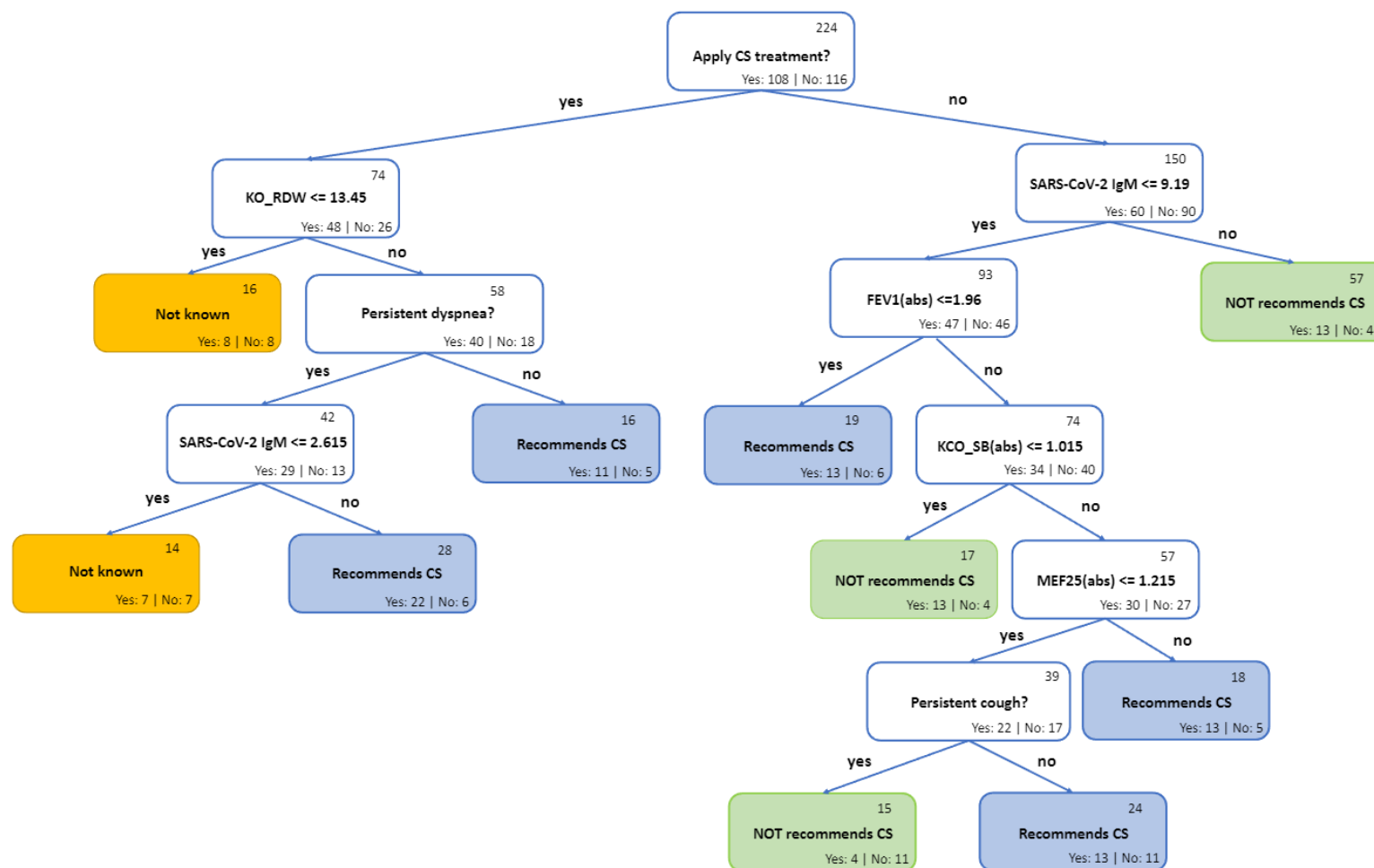
Krevní obraz



Anamnéza + demografické prvky

- Kontrola klinického významu
- Přesnost: 0,73 %

Actual label	Not recommended	23	7
	Recommended	8	19
		Not recommended	Recommended
		Predicted label	



# Video - detekce Covid-19 z RTG snímku plic

The screenshot displays the CovidStopHospital web interface. On the left is a grayscale X-ray of a chest. The interface includes a form with fields for 'Pacient:', 'RČ:', and 'Datum:'. Below these is 'Acc: 3692703'. A section titled 'Hodnocení AI - riziko Covid19' contains a checked checkbox 'Zobrazit hodnocení AI' and a horizontal scale with markers for 'sporné' and 'spíše ano'. Below this is another section 'Hodnocení radiologa - riziko Covid19' with a scale from 'ne' to 'spíše ano' and a yellow marker. A 'Odeslat hodnocení' button is at the bottom right.

Názor experta

Názor AI

**DEMO**

# Video - doporučení postupu léčby pacientů s vážnými následky po onemocnění Covid-19

**DEMO**

Výsledné doporučení

Pneumonie	<input checked="" type="checkbox"/>
Postcovidové postižení	Již na RTG
Kortikosteroidy (KS)	<input checked="" type="checkbox"/>
KS dávka - denní	5
KS délka - týdnů	12
KS oro jiné obtíže	<input type="checkbox"/>
Ztráta čichu	<input type="checkbox"/>
Přetrvávající kašel	<input checked="" type="checkbox"/>
Přetrvávající dušnost	<input checked="" type="checkbox"/>

FEV1(abs)	2,83
KOMo %	7,5
PEF( % pred)	82,95
DLCOcSB(abs)	7,33
KCOSB(abs)	1,58
MEF25(abs)	1,24
hodnocení	97,55

Rozhodnout ručně    Vyčistit    Odeslat

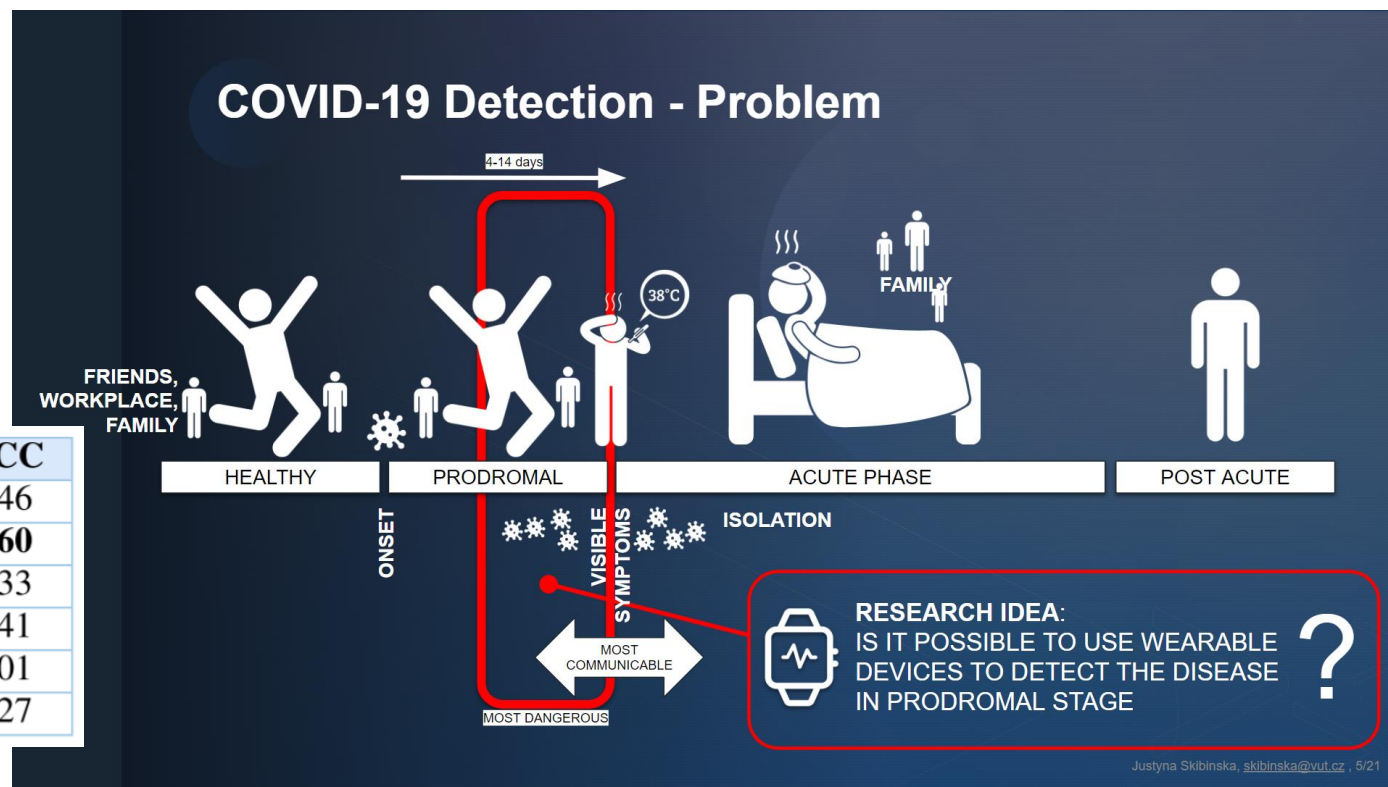
Vzniklo na základě finanční podpory Ministerstva vnitra VI04000039

# Rozpoznání infekce v prodromální fázi

78 % přesnost předpovědi infekce

(zlepšení SOTA o 10%)

Classifier	Accuracy	Sensitivity	Specificity	MCC
<b>XGBoost</b>	0.71	0.72	0.71	0.46
<i>k</i> -NN	<b>0.78</b>	<b>0.77</b>	<b>0.80</b>	<b>0.60</b>
SVM	0.65	0.66	0.65	0.33
Logistic Regression	0.69	0.69	0.69	0.41
Decision Tree	0.50	0.52	0.49	0.01
Random Forest	0.62	0.59	0.66	0.27

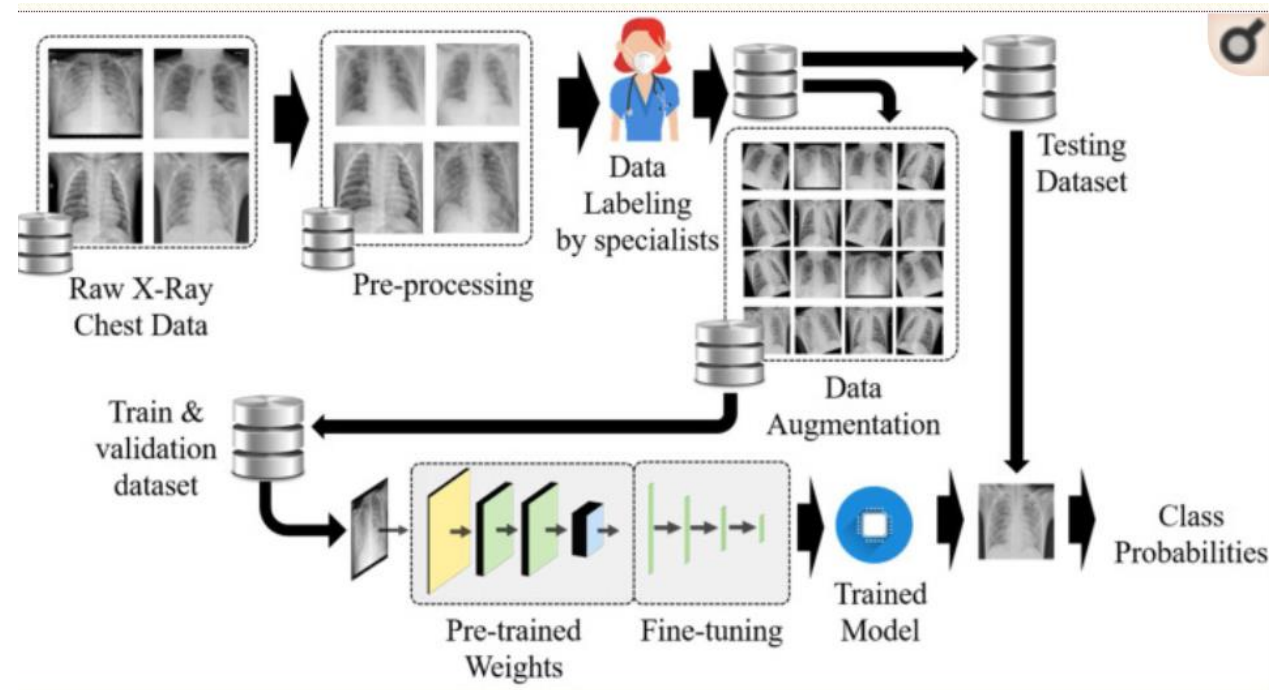


Skibinska, J., Burget, R., Channa, A., Popescu, N., & Koucheryavy, Y. (2021). COVID-19 diagnosis at early stage based on smartwatches and machine learning techniques. *IEEE Access*, 9, 119476-119491. AIS: Q2. IF: 3.476

# Analýza RTG pro detekci COVID-19

**99.81% přesnost** (nativní + delta)  
X dnešní varianty jsou méně agresivní

Ground Truth	Predictions				Total	Precision
	COVID-19	Normal	Bacterial Pneumonia	Viral Pneumonia		
COVID-19	187.8	1.6	0.2	4.4	194	98.842%
Normal	0.2	556.4	1.4	25	583	85.547%
Bacterial Pneumonia	1.2	52.4	1004.2	714.2	1772	91.175%
Viral Pneumonia	0.8	40	95.6	356.6	493	32.412%
Total	190	650.4	1101.4	1100.2	3042	
Recall	96.804%	95.437%	56.670%	72.333%		

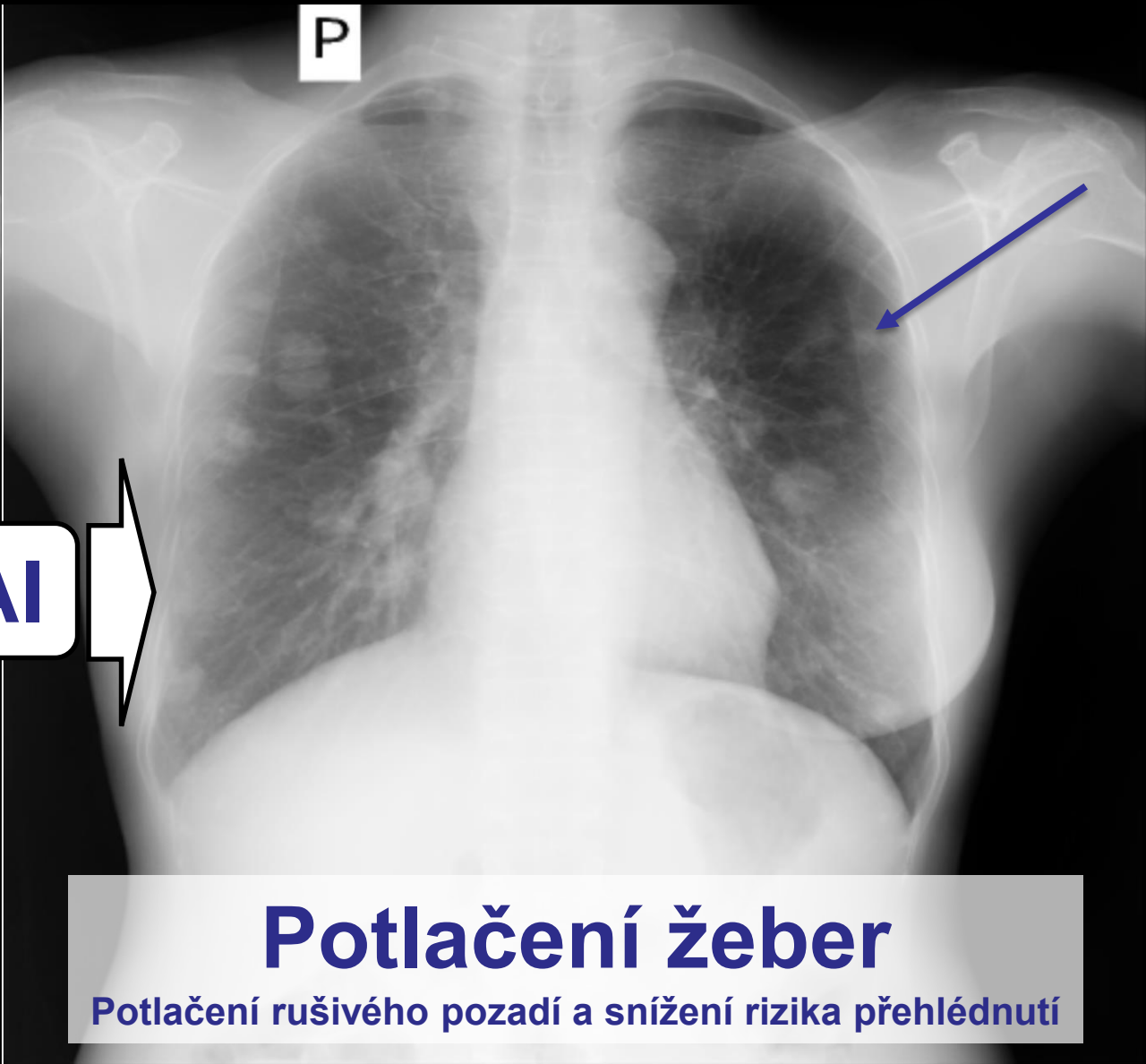
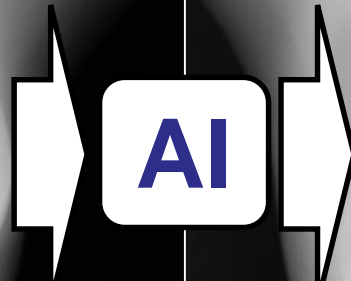
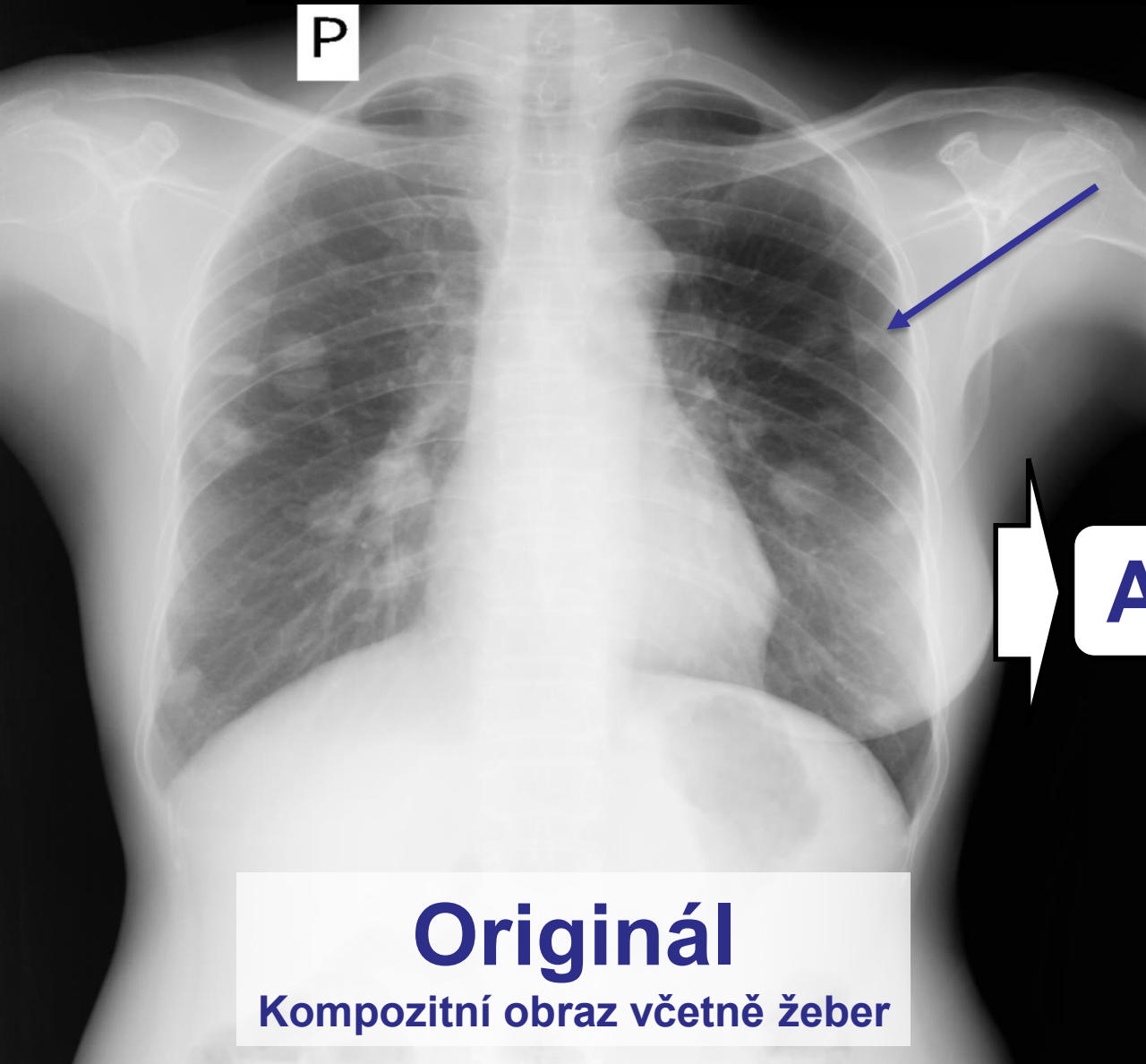


Joshi, Rakesh Chandra, et al. "A deep learning-based COVID-19 automatic diagnostic framework using chest X-ray images."

*Biocybernetics and Biomedical Engineering* 41.1 (2021): 239-254.

Q2, IF: 5.687 (52 citací)

# Umělá inteligence pro dekompozici obrazu





---

***Děkuji za pozornost***

2x Q1  
2x Q2  
+ v přípravě  
2x SW

Radim Burget, Anzhelika Mezina, Vojtech Myška

Samuel Genzor, Jan Mizera, Michal Štýbnar